

で確認されているので<sup>6)</sup>、総計およそ 150 km<sup>3</sup>という推定体積はその最小値を与えるものと思われる。

- (3) 岩石記載的特徴  
火碎流堆積物、降下火山灰とも、輝石ダイサイトないし流紋岩質のバブル型ガラスにとむテフラである。火山ガラスの屈折率は  $\nu = 1.502 - 1.506$  で、斜方輝石のそれは  $\nu = 1.705 - 1.710$  である。これらは他のクッチャロカルデラのテフラに類似するので、類別・特定するには慎重を期す必要がある。
- 火山ガラスの主成分組成<sup>3)</sup>は、表 1-1 (1)、付表 2.1 のとおりで、クッチャロカルデラのテフラは互いに似ているが、子細に見ると、 $TiO_2$ ,  $FeO^*$ ,  $Na_2O$  にやどむことなどで、Kc-Sr, クッチャロ 2・3 テフラ (Kc-2・3) などと区別できる。堅希土類元素組成のも、クッチャロテフラは互いに似るが、図 1-2 (c) のようにわざかな違いはある。

- (4) 噴出年代・第四紀編年上の意義  
火碎流堆積物中のジルコンについての FT 年代は、 $130 \pm 60$  ka と測られている<sup>8)</sup>。この測定値は

#### 文献

- 1) 藤井・佐藤 (1963), 2) Arai et al. (1986), 3) Okumura (1988), 4) 奥村 (1991), 5) 春日井ほか (1990), 6) 青木ほか (2000), 7) 阿田井ほか (1994c), 8) Sakaguchi & Okumura (1986), 9) 馬道田研 (1989).

幅が広いが、中央値はこのテフラがいわゆる最終間氷期最盛期に噴出したことを暗示している。そこでこのテフラと海進・海退との関係に注目すると、最終間氷期段丘と目される駿路段丘 (旧汀線高度 50 m) では、本テフラ (火碎流堆積物) は海抜 20 m まで低まつた面にも海成層をおおう陸上堆積物として認められる。したがって、この段丘を形成した海進の後、海退がかなり進んだ時期に本テフラは噴出したものと考えられる。最終間氷期海進 (ステージ 5e) のピークが 12.5 万年前とすれば、本テフラの噴火はそれより新しく、ステージ 5d に入ると考えられる。同様なことは石狩平野東南部の厚真でも認められる。すなわち Kc-Hb (Atata3) は厚真層のうち海成層頂面より約 80 cm 上位の泥炭層中に介在する。また Kc-Hb と下位の海成層にはさまれる泥炭層の花粉分析では、本テフラ噴出前にはすでに寒化が進んでいたことが示唆されている<sup>8,9)</sup>。

## 第3章 | 日本各地の後期第四紀テフラ

この章では、日本各地でこれまでに記載された指標テフラについて、地質毎に噴出源、年代・層位、第四紀編年上の意義、および同定する上で参考となる鉱物組み合わせと、屈折率、主要な模式地などを簡略化して表の形で示す。また各テフラの分布を等高線図などで示す。このデータは、各地域でテフラを認定し編年を利用して、研究の限界なものもある。しかし、従来の研究成果が表にすべて盛られているとはいえないで、くわしい内容は各文献を参照されたい。

ここでとりあげたテフラは各地でかなり広い分布面積をもつもの、編年上とくに意義が深いものを主体とした。

以下、各テフラの特性を示す表の記載方式について、若干の説明を加える。

### ●表の説明

1 テフラは各地域毎に新しいものから層位・年代順に列挙した。ただし層位が不明確なものは注記した。

2 テフラの名称：給源火山+テフラ名を原則とする。給源火山がわからぬ場合はテフラ名のみとし、注に推定される火山名を記した。從来各テフラの性状に応じて××堅石, ××スコリア, ××降下火山灰, ××火碎流堆積物などが付けられていたが、性状は給源からの距離によって変わること、1 噴火輪廻の堆積物を基本単位にすることのために、すべて××テフラと呼ぶことにし、ここではあえて「テフラ」を省略した。原則として 1 噴火輪廻のテフラ層を 1 項目としたが、大規模テフラで記載内容が多くまたユニットにより異なることがある場合には、複数の項目立てとなる。

### ○表の構成

1 表題：表題は各テフラの層位と層位範囲を示す。

2 層位：層位は各テフラの層位を示す。

3 テフラ名：テフラ名を示す。

4 噴出年：噴出年を示す。

5 噴出層位：噴出層位を示す。

6 分布・体積：分布と体積を示す。

7 文獻：参考文献を示す。

軸の方向（東E、西W、南S、北N）と陸上で認められている居住地点の給源（推定を含む）からの距離（km）を示した。conc.は分布が同じ円状のもの。A：現在認知可能な範囲の面積を10 km<sup>2</sup>のべき指数で表わした（たとえば5は100,000 km<sup>2</sup>の範囲で認められることを示す）。V：爆発度指数（Volcanic Explosivity Index）で、噴出物の体積のオーダーによる指標（第1編第1章参照）。たとえば7は総体積100 km<sup>3</sup>のオーダーのもの。

7 注・対比・他の名称：他の名称は原則としてテフラの性状を示す語を省いて「」内に記す。

8 主な鉱物：最初は強磁性鉱物を除く重鉱物、セミコロンの後は特徴的な強磁性物（斜長石を除く）を記す。いずれも含有量の多いものから順に記す。下線はとくに注目すべきもの。（）内は含有量が僅少なもの。af：アルカリ長石、ol：かんらん石、opx：斜方輝石、cpx：单斜輝石、ho：普通角閃石、ox ho：酸化角閃石、cum：カミントン閃石、bi：黒雲母、qt：石英、vitric：ガラス質、ob：黒曜石、al：褐レン石、cd：堇青石、ep：エビドート、gn：ザクロ石。

9 火山ガラス、斜方輝石、角閃石などの屈折率：主に浸透法によって測定した値。n：火山ガラスの屈折率、γ：最大屈折率、n<sub>2</sub>：劈開片の最大屈折率、括弧内の値はモードまたは集中度の高い範囲。なお火山ガラスのタイプの略号は次のとおり、bw：バブル型ガラス（薄手の板ガラスまたは曲面ガラス）またはバブルの総目をなすガラス、pm：柱石型ガラス、ch：塊状ガラス。

10 2地域以上にまたがって分布するテフラの場合、主な記載は、そのテフラの給源地域で、他の地域では、履相と注、模式地のほかは、省略した場合がある。

11 模式地：市町村名と字名を記す。そこに付けば多くの場合当該テフラを採取できるところ、また他のテフラや地形面・地図との関係がわかるところでもある。

12 文献：主要なものを引用する。

#### ●図の説明

1 降下テフラの分布は等厚線（cm単位）で示される。火碎流堆積物の分布域はアミ模様の部分。

2 テフラは原則として地殻ごとに時代順に配列してある。

率：主に浸透法によって測定した値。n：火山ガラスの屈折率、γ：最大屈折率、n<sub>2</sub>：劈開片の最大屈折率、括弧内の値はモードまたは集中度の高い範囲。なお火山ガラスのタイプの略号は次のとおり、bw：バブル型ガラス（薄手の板ガラスまたは曲面ガラス）またはバブルの総目をなすガラス、pm：柱石型ガラス、ch：塊状ガラス。

10 2地域以上にまたがって分布するテフラの場合、主な記載は、そのテフラの給源地域で、他の地域では、履相と注、模式地のほかは、省略した場合がある。

11 模式地：市町村名と字名を記す。そこに付けば多くの場合当該テフラを採取できるところ、また他のテフラや地形面・地図との関係がわかるところでもある。

12 文献：主要なものを引用する。

### 3.1 九州地方

九州の指標テフラは2つのグループに大別される。1つは前述した広域テフラを供給したVEI 7クラスの巨大噴火による火碎流堆積物を主としたテフラ（降下碎石、降下火山灰などを伴う）である。この種のものは九州の火山を特色付ける火カルデラから数万～十数万年に一度という小さな頻度で発生してきた。その歴史は人類文化やその環境に大きな影響を与えたとともに、縦年研究によって広域的な基準層を提供した<sup>1)</sup>。第2はそうした巨大噴火の間に起こった中・小規模の爆発的活動の產物である。主にアミアン噴火による降下堅石が多い。この種のテフラの分布は巨大噴火のそれに比べさせまいが、噴火の頻度が比較的高いために、火山の風下地域では多数のテフラ層が編年に利用できる。

第2章で述べたように九州のカルデラ火山の場合、テフラの容積が100 km<sup>3</sup>を越す巨大火碎流はいすれもきわめて流動的で、給源から100 kmを越す遠方にまで到達し、指標層となる。それは過去13万年間のうち13万～8.5万年前と3万年前以降に集中している。とくに前者の時期には阿蘇3（Aso-3）、阿多（Ata）、鬼界島原（K-Tz）、阿蘇4（Aso-4）と相次いで巨大噴火が発生した。またすでに述べたように、巨大火碎流と同時に大量の火山灰がほとんどど例外なく噴出し、風に送られて広域に降下堆積した。それらは日本列島各地や隣接する海洋底に及ぶとともに、各地で他のテフラあるいは堆積物と層位関係をもち、噴出年代を確定させてくれる。

第2のタイプのテフラのうち、池田湖テフラ

<sup>1)</sup> 文獻  
1) 長岡 (1989), 2) 森脇ほか (1991).

（Kj-P1）、桜島薩摩テフラ（Sz-S）、九重第1チフラ（Kr-1w）、始良福山テフラ（Kr-1w），姶良岩戸テフラ（A-1w）、姶良丸峰テフラ（Ata-Mr）などはVEI 5-6クラスに達する大規模なテフラで、海底を含めた広域で指標層になる可能性がある。表には、これらのほか阿蘇、霧島あるいは桜島などの歴史時代と先史時代のテフラのうち、比較的大きいブリニアンないしがネアン噴火による指標テフラを載せた。このほか阿蘇、霧島の風下地域には褐色火山灰土（いわゆるローム）が分布する。

これは多くの場合スヨリ・堅石質のテフラ群で、給源火口から数～20 km程度の近距離では成層と全層土壊化して識別し難くなつたものである。

指標テフラの分布は火山の分布と呼応して南北と中九州への偏りが見られる。種子島、屋久島、鹿児島湾の周り、人吉盆地、宮崎平野、あるいは阿蘇・九重火山群の東方地域では、いずれも詳細なテフロクロノジーが可能で、考古学、海面変化史、地盤変動史など種々の第四紀編年研究に重要な知見がもたらされてきた。一方、雲仙・多良・五島列島などの火山の活動はあまり豊富的でなく、その山麓・周辺地域には、これらに由来する頗著なテフラは知られていない。韓国济州島も大型火山であるが、ほとんどテフラを噴出していない。

火山・テフラ名	記号	年代	測定方法	堆積模式と層相	分布・体積	A	V	注・[対比・他の名称]
霧島山 <sup>(1)</sup>	Kr-Kb	<16.7	C <sup>(2)</sup>	pfa	E(N) >9 km 図3.1-1	3	4	給源は霧島岳。
姶良 Tn・入戸・大隅	AT, A-Ito, -Os	26~29	pfa, pfl, afa	sta	ENE >50 km 図3.1-2	3	4	[第2オレンジ] <sup>(3)</sup> , 本文。 表3.1-3参照。
霧島アワガシヨ <sup>(4)</sup>	Kr-Iw	40~45	ST	pfa	ENE >70 km 図3.1-2	3~4	5	給源は英守岳。
姶良岩戸	A-Iw	45~50	pfa					給源は大波池または英守岳。
阿蘇 4	Aso-4	85~90	pfl					[第3オレンジ] <sup>(5)</sup> , 本文。 表3.1-3参照。
姶良福山	A-Fk	90	pfa					本文・表3.1-5参照。 表3.1-3参照。
鬼界郡原	K-Tz	95	afa					本文・表3.1-1参照。
阿多	Ata	105~110	pfl					本文・表3.1-2参照。 [頭淀] <sup>(6)</sup> , 本文・表3.1-5参照。
阿蘇 3	Aso-3	120?~135?	pfa, afa					

1) #/上 (1986), 2) #/井・小林 (1991), 3) 中村 (1987), 4) 岩井・和島 (1981), 5) 東 (1991), 6) 遠藤ほか (1982), 7) 伊田ほか (1986),

8) 遠藤秀・鈴木 (1986), 9) Okuno et al. (1998), 10) 奥野 (2002), 11) 永追ほか (1999), 12) 宮崎県 (1997), 13) 町田・新井 (1994)。

表3.1-5  
[5] 阿蘇・九重周辺

火山・テフラ名	記号	年代	測定方法	堆積模式と層相	分布・体積	A	V	注・[対比・他の名称]
由布岳 <sup>(1)</sup>	Yf-1	2.2	C <sup>(*)</sup>	ata, pfl	ENE >10 km 図3.1-1	2	3~4	[Y.A.] <sup>(7)</sup>
阿蘇中央火口丘中新期 (詳) <sup>(8)</sup>	Aso-Na <sub>2</sub> , Oi-Ks, ACP-1 など	0~7(1.6, C <sup>(*)</sup> ) 2.7~3.4, 3.7~	ata, sta, pfa	13層以上主に カルデラ東縁の 東側→西側方に も分布 <sup>(9)</sup> 。	3			給源は中岳、往生岳、杵 島岳。
九重中新期(群)	Kj-Yn <sub>1</sub> など	4.3 C <sup>(*)</sup>	ata	3層以上の pfa, sta				中新の sta は大船山火口中新 (米延スコリア Kj-Yn) <sup>(10)</sup> 九重高地一帯から由布院まで 分布。
鬼界アカホヤ	K-Ah	7.3	ata					本文・表3.1-1参照。
阿蘇中央火口丘中新期 (詳)	Aso-CCy	K-Ah と Aso -K との間 AT Aso-K	10層以上の sta ata	ナガルデラとその周 縁、東方に分布。				
姶良 Tn	AT	26~29 >30	ata	conc. >40 km 図3.1-1	3~4	5		本文・表3.1-3参照。 [Acp-2] <sup>(9)</sup>
阿蘇草千里群 <sup>(2)</sup>	Aso-K		pfa, afa	8層以上の pfa, sta				
阿蘇中央火口丘中新期 (詳)	Aso-CCm	Aso-K と Kj -P1 との間		カルデラ周縁と 東方に分布。				
九重中新期(群)	Kj-Y	K-Ah と Kj -P1 との間		2層以上の pfa (sta), afa, pfa				カルデラ周縁に分布。
九重群 1.1-4	Kj-P1	50 <sup>(11)</sup>	C, ST	E >10 km 図3.1-2	4	5~6		

記号	主な鉱物	タイプ	火山ガラス <sub>n</sub>	opx <sub>7</sub>	ho <sub>n<sub>2</sub></sub>	模式地・その他
Kr-Kb	opx, cpx	pm		1.705~1.707 (1.706)		霧島町越
AT, A-Ito, -Os	opx, cpx; (qt)	bw, pm	1.499~1.500	1.728~1.734		同上
Kr-Aw	opx, cpx	pm		1.698~1.703 (1.700)		野尻町須瀬、国富町深年、川 南町後生田地区では枕上から 旧石器出土 <sup>(12)</sup> 。
Kr-Iw	opx, cpx	pm		1.705~1.708 (1.707)		野尻町須瀬、國富町深年、川 南町後生田地区では枕上から 旧石器出土 <sup>(12)</sup> 。
A-Iw	opx, cpx; qt	pm	1.497~1.500	1.718~1.722 (1.720)		西都町高於郷
Aso-4	ho, opx, cpx	bw	1.507~1.509	1.699~1.701	1.686~1.688	里宮町山上、川南町延浜
A-Fk	ho, opx			1.712~1.716	1.670~1.675	同上
K-Tz	opx, cpx; qt	bw, pm	1.497~1.499	1.704~1.708		同上
Ata	(opx, cpx)	bw	1.508~1.511	1.704~1.708		えびの市等地元。
Aso-3	opx, cpx	pm, bw	1.515~1.519	1.700~1.705		川南町延浜、錦町山下、主城 分 <sup>(13)</sup> 。

記号	主な鉱物	タイプ	火山ガラス <sub>n</sub>	opx <sub>7</sub>	ho <sub>n<sub>2</sub></sub>	模式地・その他
Yf-1	ho, opx, cpx	pm(後輪全付)	1.497~1.501			別府市城島高原 阿蘇カルデラ内、 波野村小池
Aso-Na <sub>2</sub> , Oi-Ks, ACP-1						阿蘇火山のテフ ラの opx は低 T に特徴あり。
Kj-Yn						久住町宮地野神社北
K-Ah	opx, cpx	bw, pm	1.505~1.513 (1.510~1.512)	1.705~1.711 (1.710)		久住町一帯、波野村一帯。
Aso-CCy						袴町坂町
AT	opx, cpx; (qt)	bw	1.498~1.500	1.728~1.734	1.698~1.703	同上
Aso-K	opx, cpx					袴町坂町
Kj-P1	ho, (opx, bi); tt	pm	1.503~1.506 (1.707)	1.668~1.674 (1.670)		久住町宮地野神社北

1) 小林哲(1984), 2) 小野・越辺(1985), 3) 佐田(1989), 4) 町田(1980), 5) 小野ほか(1977), 6) 町田ほか(1985), 7) 松本ほか(1983), 8) 小林哲(1998).

8) 滝沢ほか (2001), 9) 菊林・渡辺 (1997), 10) 古川・梅田 (2000), 11) Karnata and Kobayashi (1997), 12) 鈴木ほか (1998), 13) 畠野ほか

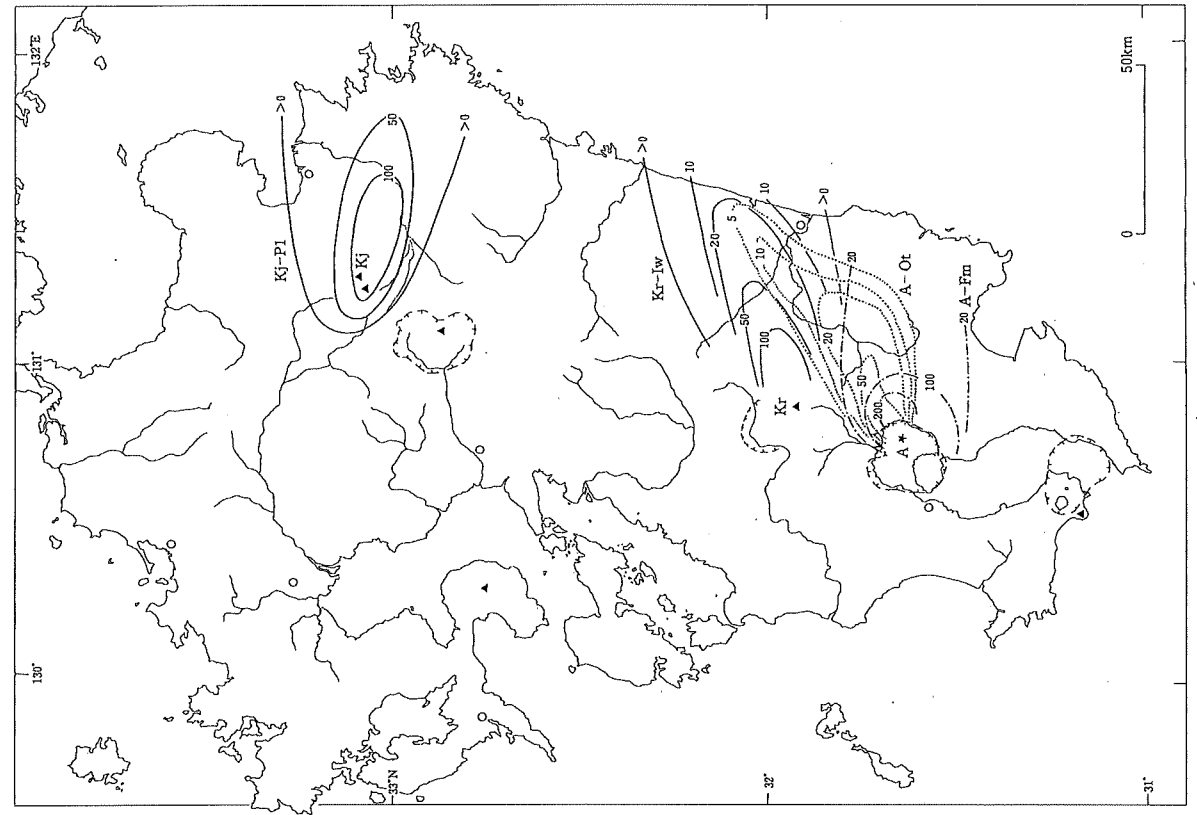


図 3-1-2 九州地方の 3 万～5 万年前の主要チラの等厚線図。  
 A-Fm: 始良深溝 A-Ot: 始良大窪  
 Kj: 楠原川 Kf: 穂房 A: 始良  
 ① 地質年表 (2001), ② Nagoya, 3) 長崎 (1998)

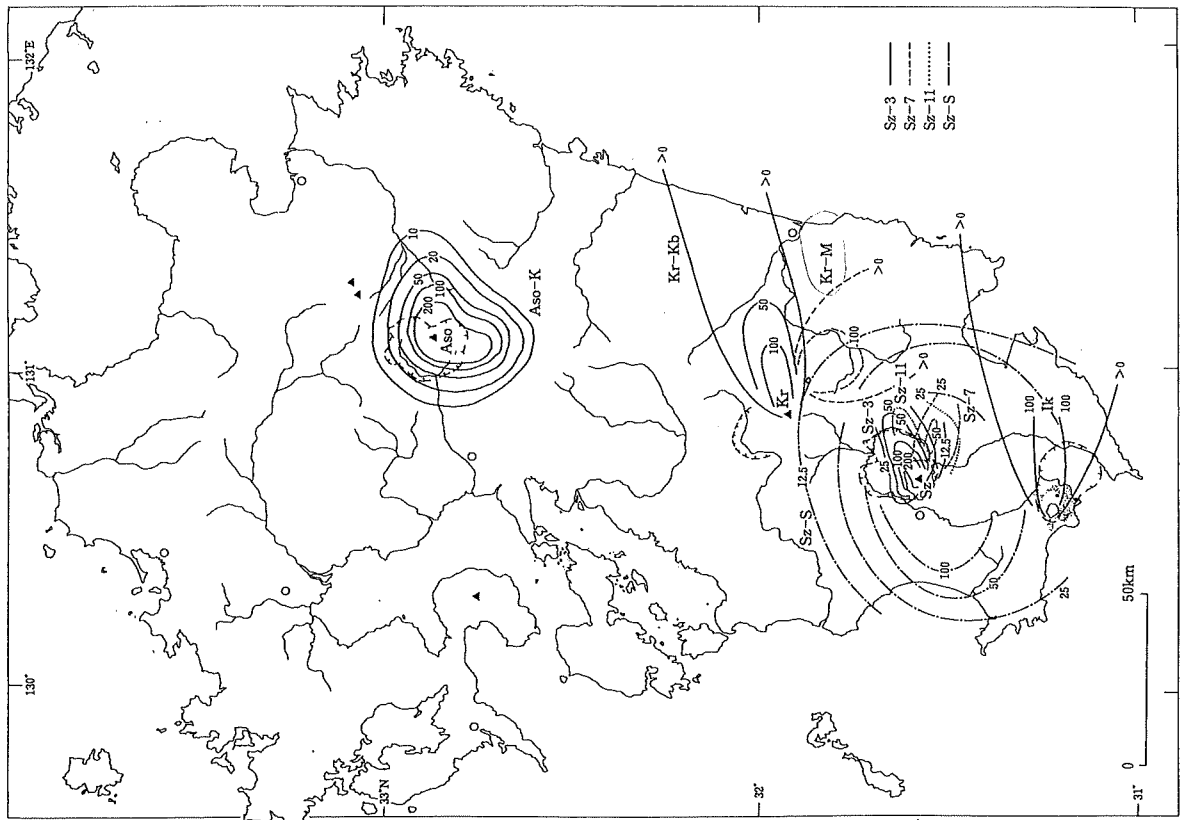


図 3-1-1 九州地方の約 3 万年前以降の主要テフラの等高線図。  
 数値の単位は cm。印は噴火場所を示す。主要都市（以下の図も同様）。

テフラ名	噴火場所	噴出量	噴出年	等高線
Sz-3 桜島（桜島噴火）	K-T-M 豊前御厨ほか	Sz-7 桜島 7m	桜島	
Sz-S 桜島（桜島噴火）	K-T-Kb 霧島山ほか	Sz-8 桜島 8m	霧島山	
[1] 小林川（1986）、[2] 木村・大野（1977）、[3] 木井（1987）、[4] 井伊田（1989）、[5] 久				

# [1] 木曽御嶽・八ヶ岳

表3-3-1

火山・テフラ名	記号	年代	測定方法	堆積様式と層相	分布・体質	A	V	注・[出・他の名称]
姶良 Tn 八ヶ岳 4 <sup>12</sup>	AT Yt-Pm4	26~29	afa pfa	E>50 km 図 3.3-2	3 4	本文・表 3.1-3 参照。 給源は哉岳、八ヶ岳起原 にフラは On-Pm1 以上 に 4 層あり。)	cpx, opx, (ho) Tr-Pm4	1.689~1.704 (1.702)
御岳層數門 <sup>13</sup>	On-Ys	sfa	pfa	E>50 km	3 4	本文・表 3.2-1 参照。	opx, cpx On-Ys	1.710~1.714 (1.712)
大山食吉 <sup>13</sup>	DKP	≥65					DKP	1.702~1.707
御岳三岳 <sup>13</sup>	On-Mt	pfa		E>100 km 図 3.3-2	3~4 4~5	[S-1] <sup>9</sup> , [Pm-IV] <sup>5</sup>	opx, cpx On-Mt	1.703~1.707 (1.705)
御岳千本松 <sup>13</sup>	On-Sn	sfa, pfa		E>100 km	3 4	[S-0] <sup>9</sup>	cpx, ol, opx, (ho) On-Sn	1.703~1.712
御岳忌原 <sup>13</sup>	On-Tt	pfa	C	E>100 km 図 3.3-2	3 4	[Pm-III] <sup>9</sup> , 木曾谷層、 流動帶成層・熱田層上 部に介在。	opx, cpx, ho On-Tt	1.712~1.716 (1.714)
御岳荒川 <sup>13</sup>	On-Ng	pfa		EN>300 km, 図 3.3-2	4 5	[Pm-III] <sup>5</sup>	opx, ho, (cpx) On-Ng	1.680~1.698 (1.717)
阿蘇 4 <sup>12</sup>	Aso-4	85~90	afa			本文・表 3.1-5 参照。	Aso-4	1.715~1.720 (1.717)
御岳王流 <sup>13</sup>	On-Ot	pfa		EEN>50 km 図 3.3-3	3 4	[Pm-II] <sup>9</sup> [Pm-3B] <sup>9</sup>	opx On-Ot	1.680~1.687
御岳伊那 <sup>13</sup>	On-In	pfa		E(S)>190 km	4 5	[Pm-II] <sup>9</sup> [Pm-3A] <sup>9</sup>	opx On-In	1.707~1.710
御岳御町 <sup>13</sup>	On-Kt	pfa		NNE>150 km 図 3.3-3	4 5	[Pm-2B] <sup>4</sup> , 潟町の丘中 中, K-Tz の皿上 <sup>10</sup> 。	opx, ho, (cpx) On-Kt	1.708~1.710 (1.710)
完界敷原 <sup>13</sup>	K-Tz	95	afa			本文・表 3.1-1 参照。	K-Tz (opx, cpx); qt	1.671~1.718 (1.715)
御岳敷原 <sup>13</sup>	On-Yb	pfa		ENE, ESE >90 km 図 2.3-1	3 4?	[Pm-II] <sup>9</sup>	opx, ho, bi On-Yb	1.676~1.685 (1.682~1.683)
御岳第 14 <sup>10</sup>	On-Pm1	100	FT, ST	pfa	5 6	本文参照 [Pm1] <sup>11</sup> [Pm- 1A, 1B] <sup>9</sup> , [OP1, SOP] <sup>9</sup> , [木祖] <sup>9</sup> , 本文・表 3.1-5 参照。	On-Pm1 ho, bi, (cpx)	1.681~1.690 (1.681~1.685)
阿蘇 3	Aso-3	120? 135?	afa	E>90 km	3 4?	[Pm-I] <sup>9</sup> , Tr-D との層 位関係不明。	Aso-3 On-Km bi, ho, opx	1.685~1.688 1.706~1.710
御岳上垂 <sup>13</sup>	On-Km	pfa				表 3.3-2 参照。	Tr-D	1.706~1.710
立山 D <sup>13</sup>	Tt-D	pfa		E>50 km	3?	多數のユニットからなる。	Yt-Kw cpx, opx, (al)	上部 1.697~1.702 下部 1.700~1.709
八ヶ岳川上 <sup>13</sup>	Yt-Kw	pfa		図 3.3-4				

(1992), 8) 鈴木ほか (1995), 9) 中村ほか (1992), 10) 水戸 (1987).

1) 中谷 (1970), 2) Kawachi et al. (1967), 3) 竹木ほか (1987), 4) Sakai (1981), 5) 小林ほか (1971), 6) 町田 (1990), 7) 川上ほか

記号	主な鉱物	火山ガラス	oxygen	ho	模式地・その他
AT	cpx, opx, (ho)			1.689~1.704 (1.702)	川上村野辺山 小海町五箇
Yt-Pm4	Tr-Pm4			1.710~1.714 (1.712)	三岳村若宮
On-Ys	opx, cpx			1.702~1.707	奈川村栗山, DKP の上位 木曾川流域 (AMS 14C 年 50~ 52 ka) <sup>9</sup>
DKP	opx, ho, bi			1.675~1.680	三岳村若宮
On-Mt	opx, cpx			1.703~1.707 (1.705)	木曾福島町石龜平
On-Sn	cpx, ol, opx, (ho)			1.688~1.693	木曾福島町石龜平
On-Tt	opx, cpx, ho			1.684~1.696	木曾福島町石龜平
On-Ng	pm	1.503~1.508		1.680~1.687	奈川村栗山
Aso-4	opx			1.715~1.720 (1.717)	木曾福島町石龜平
On-Ot	pm	1.509~1.511		1.707~1.710	玉海町栗石原, On-In 丘陵地
On-In	pm	1.510~1.511		1.706~1.710 (1.708)	木曾福島町石龜平
On-Kt	opx, ho, (cpx)			1.676~1.685 (1.682~1.683)	奈川村栗山, opx の富群層 平。尾野町荒神山
K-Tz	(opx, cpx); qt			1.711~1.718 (1.715)	
On-Yb	opx, ho, bi			1.673~1.676 (1.715)	木曾村鹿原
On-Pm1	pm, bw	1.497~1.503 (1.498~1.500)		1.706~1.712 (1.706~1.710)	木曾福島町石龜平, 伊那市日 影
ho, bi, (cpx)					木曾村西山原 <sup>13</sup>
On-Km	pm, bw	1.501~1.503		1.706~1.711 (1.708)	伊那市日影
bi, ho, opx					小海町松原湖
Tr-D					川上村野辺山
Yt-Kw	cpx, opx, (al)				

[5] 浅間・榛名・赤城・日光・北関東

表3-3-5

火山・テフラ名	記号	年代	測定方法	堆積模式と層相	分布・体質	A	V	注・対比・他の名称
浅間 A(天明)1 <sup>a,b</sup> ,2 <sup>c,d</sup> ,30	As-A (C#3)	AD 1783	H	pfa, pfl	E(S) >150 km 図3.3-1	3	4	pfl [吾妻・穂原]1 <sup>a,2</sup>
浅間 B(天仁)1 <sup>a,b</sup>	As-B (天仁)1 <sup>a,b</sup>	AD 1108	H, A	pfa, sfa, afa	E >150 km 図3.3-1	3	5	pfl [田分]1 <sup>a,2</sup>
榛名ニッ岳伊豆衝突 <sup>a,b</sup>	Hr-PP	6世紀中葉 古墳時代	A	pfa, pfl	EN >300 km 仙台まで 図3.3-1, 3.4-1	4	5	pfa [ニッ岳(FP)] <sup>a,2b</sup> ; pfl [猪見]1 <sup>b</sup>
榛名ニッ岳北山 <sup>a,b</sup>	Hr-PA	6世紀初頭 古墳時代	A	afa, pfa	E(S) >80 km E(N) >80 km 図3.3-1	4	4	afa [ニッ岳(FA)] <sup>a,2</sup> ; pfa [猪見]1 <sup>b</sup>
磐田 C <sup>a,b</sup>	As-C	4世紀中葉 弥生時代 <sup>a,b</sup>	A	pfa	ES >80 km 図3.3-1	3	4	
浅間 D <sup>a,b</sup>	As-D	4.5~5.5 細文山期	A	pfa	ES >50 km 図3.3-2	3	4	
鬼界アカホヤ <sup>a</sup>	K-Ah	7.3	afa			2		本文・表3-1-1 参照
浅間小道 <sup>a,b,c</sup>	As-Km2 (11~14 C <sup>a</sup> )	pfa						pfl [浅間第2]1 <sup>a,2</sup>
男性七本足 <sup>a,b</sup>	Nt-S	14~15	C	sfa, sff	E(S) >90 km 図3.3-2	4	5	[上部地層]同一砲火輪 土 <sup>a</sup> [今市土] <sup>b</sup> 細石刃・丸のみ石器包含 層中。 pfl [浅間第1]1 <sup>a,2</sup>
男体今市 <sup>a,b</sup>	Nt-I	15~16	C <sup>a</sup>	pfa	E(S) >100 km 図3.3-2	2		
浅間小塔 <sup>a,b,c</sup>	As-Kml				N(E) >300 km 山形・月山や佐渡～男鹿中間の 日本海にも分布	4	5?	[鑿孔1 <sup>a,2</sup> ]同一砲火輪 色 [岩手赤色 (TP)] <sup>a</sup> 北陸项で先領器と細石刃 文化層の境目にあら。
浅間草草	As-K	15~16.5	C, ST	pfa, pfl, pfa	E(S) >70 km 図3.3-2	4	5?	
浅間板鼻黄色	As-Yp				E(S) >30 km 図3.3-2			
浅間大船沢 <sup>a,b</sup>	As-Ok2			pfa, pfl	ES >30 km 図3.3-2	2?		
浅間大船沢 <sup>a,b</sup>	As-Oki			pfa	E(N) >100 km 図3.3-2	2?		
浅間雲母 <sup>a</sup>	As-Sr	15~20	ST, C	pfa, afa? sfa	E >90 km 図3.3-2	4	5	上下からナチュラル形石器、 小鏡面溶岩岩頂由来形。 起源は鷹山。 男体山形成因。
浅間雲母 <sup>a</sup>	As-Kb				E >100 km 図3.3-2	2		絵画絵師黒堀山、坂下部 は [浅間窑田] <sup>a,b</sup> 。
男体片岡・小川(井) <sup>a,b</sup>	Nt-Kt/Og							
浅間板鼻褐色 <sup>a,b,c</sup>	As-BP	20~25	ST	pfa				

記号	主な鉱物	火山ガラス	oxp <sub>7</sub>	ho <sub>n2</sub>	模式地・その他
As-A	opx, cpx, ol	pm	1.507~1.512 (1.709)	1.707~1.712 (1.709)	磐井沢町万山里、碓氷峠
As-B	opx, cpx	pm	1.524~1.532 (1.709)	1.708~1.710 (1.710)	同上
Hr-PP	ho, opx	pm	1.501~1.504 (1.502~1.503)	1.672~1.677 (1.710)	子持村荒井路、母香港町
Hr-FA	ho, opx; cd	pm	1.500~1.502 (1.501)	1.707~1.711 (1.710)	浅川市折原、重音石を含む。
As-C	opx, cpx	pm	1.514~1.520 (1.707~1.709)	1.706~1.711 (1.707~1.709)	磐井沢町万山里、碓氷峠
As-D	opx, cpx	pm	1.513~1.516 (1.707)	1.706~1.708 (1.707)	碓氷峠
K-Ah	bxw, pm	pm	1.506~1.513	1.708~1.711 (1.802)	尾瀬原中田代 小諸市櫻古園
As-Km2	opx, cpx	pm	1.501~1.503 (1.802)	1.708~1.711 (1.802)	今市市七本足、日光市白壁
Nt-S	opx, cpx, (ho); qt	pm	1.500~1.503 (1.711)	1.670~1.675 (1.711)	今市市七本足、日光市裏見流
Nt-I	opx, opx, ol	pm	1.501~1.503 (1.707~1.709)	1.701~1.710 (1.707~1.709)	小諸市櫻古園、JR 万座駅 口駅
As-Kml	opx, cpx	pm	1.501~1.503 (1.802)	1.708~1.713 (1.802)	草津町谷所
As-K	opx, cpx	pm, ch	1.501~1.503 (1.802)	1.707~1.712 (1.802)	安中市板鼻
As-Yp	opx, cpx	pm, ch	1.501~1.505 (1.802~1.804)	1.707~1.712 (1.809)	磐井沢町千ヶ流、大糸沢
As-Ok2	opx, cpx; ob	pm	1.502~1.504 (1.803)	1.704~1.709 (1.803)	同上
As-Oki	opx, cpx; ob	pm	1.500~1.502 (1.802)	1.704~1.709 (1.802)	磐井沢町千ヶ流、大糸沢
As-Sr	opx, cpx, (ho)	pm	1.506~1.510 (1.807~1.809)	1.702~1.708 (1.805~1.807)	磐井沢町白糸沢
As-Kb	opx, cpx, ho, bi; qt	pm	1.496~1.500	1.703~1.708	今市市七本足
Nt-Kt/Og	opx, (cpx, ho)	pm	1.517~1.520 (1.808~1.811)	1.704~1.714 (1.809~1.810)	磐井沢町松井田
As-BP	opx, cpx	pm	1.515~1.520 (1.805~1.815)	1.704~1.714 (1.805~1.815)	安中市板鼻、松井沢町松井田

記号	主な鉱物	火山ガラス	oxygen	ho.cum	$n_2$	模式地・その他
Nas-Kr	那須黒森(第3)	AT以上に2層、AT～DKPに2層、DKP直下に1層、どれも小規模な sfa, afa, 小型 pfaを伴う場合あり。	本文・表3-1-3参照。			
AT	afa	EES>150 km 図3-2	1.499-1.500 1.504-1.508	bw pm	1.671-1.678 (1.673-1.675)	前橋市上郷寺、富岡市上原岩 血沢市八幡、深保根村一の鳥居 北橘村八幡、童吉石少監含む。
As-KP	pfa	C, ST	ho, opx, (cpx)	ho, opx, (cpx)	1.671-1.678 (1.673)	
Hr-HP	pfa, pfi	C, ST	ho, opx, (cpx, cum); qt, (cd)	ho, opx, (cpx, cum); qt, (cd)	1.670-1.677 cum 1.660土	
Ag-UP	pfi	ES>80 km 図3-3	opx, cpx, (ho)	opx, cpx, (ho)	1.700-1.705 (1.702)	
Ag-Og	pfa	NE>50 km 図3-3	opx, cpx, ho	opx, cpx, ho	1.707-1.713 1.705-1.711 (1.706-1.710)	赤城山口 <sup>(1)</sup> 赤城山口 <sup>(2)</sup>
Ag-Nm1	pfa	E(N)>80 km 図3-3	opx, cpx, ho	opx, cpx, ho	1.706-1.710 1.708-1.711 (1.706-1.711)	赤城山口 <sup>(1)</sup> 赤城山口 <sup>(2)</sup>
Ag-Nm2	pfa	afa	DKP	opx, ho, (bi)	1.702-1.706 (1.704)	DKP
DKP		E>130 km 図3-3	opx, cpx, (ho)	opx, cpx, (ho)	1.702-1.711 (1.707-1.710)	赤城山口 <sup>(1)</sup> 赤城山口 <sup>(2)</sup>
As-Mz1	pfa	NE>90 km 図3-4	opx, cpx, (ho)	opx, cpx, (ho)	1.705-1.710 1.706-1.710	赤城山口 <sup>(1)</sup> 赤城山口 <sup>(2)</sup>
Ag-Ok	pfa	NE>90 km 図3-4	opx, cpx, (ho)	opx, cpx, (ho)	1.705-1.714 1.706-1.710	赤城山口 <sup>(1)</sup> 赤城山口 <sup>(2)</sup>
Aso-4	afa	ENE>100 km 図3-4	AsO-4 [白坂] <sup>(2)</sup> [明神] <sup>(1)</sup>	ho, opx	1.686-1.689 同上	阿蘇4 鬼怒高原 御岳第1 <sup>(2)</sup>
K-Tz	afa	ENE>100 km 図3-4	K-Tz	ho	1.686-1.687 同上	
On-Pml	pfa	ENE>100 km 図3-4	On-Pml	ho	1.686-1.687 同上	
Ag-Mz6	pfa	ENE>100 km 図3-4	Ag-Mz6	opx, ho, (cpx)	1.672-1.683 (1.673-1.675)	赤城山口 <sup>(1)</sup> 赤城山口 <sup>(2)</sup>
Nk-Ma	sfa	ENE>100 km 図3-4	Nk-Ma	opx, cpx, bi; qt	1.672-1.683 (1.673-1.675)	那須芝原Nm-Ss以下田原チラ以上に12層の sfa, afa,
T1-D	pfa	ENE>120 km 図3-4	T1-D	opx, ho, cpx, bi; qt	1.677-1.682 <sup>(2)</sup> 1.673-1.679 (1.671-1.674)	立山D22
Ag-Mz9, 10	pfa	ENE>120 km 図3-4	Ag-Mz9, 10	opx, cpx, (ho)	1.673-1.679 (1.670-1.679)	赤城山口 <sup>(1)</sup> 赤城山口 <sup>(2)</sup>
Nas-Sr						那須白河 (詳) <sup>(1)</sup>

- 1) Aramaki (1963), 2) 鶴敷 (1968), 3) 斎井 (1970), 4) 斎井 (1982), 5) 斎井 (1989), 6) 斎井 (1998), 7) 斎井 (1998), 8) 斎井・新井 (1998), 9) 斎井・新井 (2000), 10) 斎井・新井 (2004a), 11) 斎井・新井 (2004b), 12) 斎井・新井 (2004c), 13) 斎井・新井 (2004d), 14) 斎井・新井 (2004e), 15) 山崎 (1957), 16) 穂坂・山崎 (1980), 17) 高畠 (1983), 18) 中田・高畠 (1984), 19) 野田・中田 (1984), 20) 野田・新井 (1985), 21) 野田・新井 (1986), 22) 野田・新井 (1987), 23) 野田・新井 (1988), 24) 野田・新井 (1989), 25) 野田・新井 (1990), 26) 野田・新井 (1991), 27) 新木水 (1989), 28) 大畠 (1989), 29) 幸利 (1989b), 30) 幸利 (1997), 31) 新木水 (1992), 32) 新木水 (1995), 33) 幸利 (2000a).

图 3-2 中部、南部地方的植物期更替带与主要带之分带图解图(续①)。

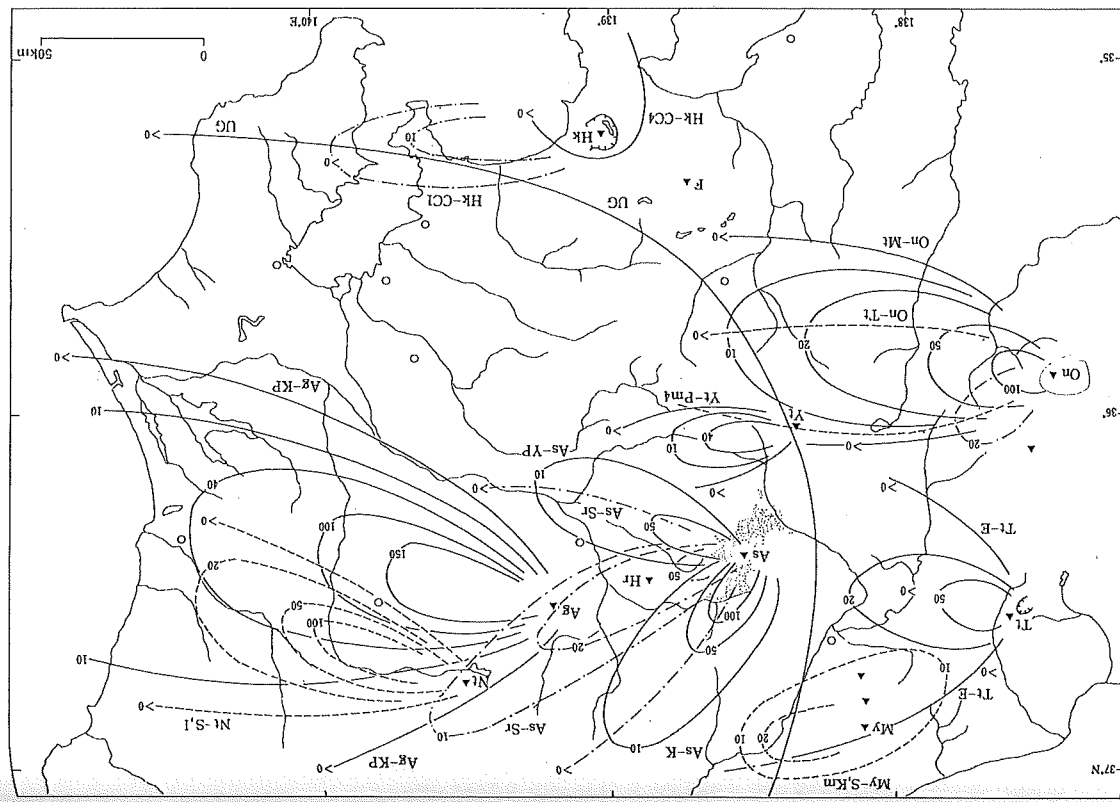
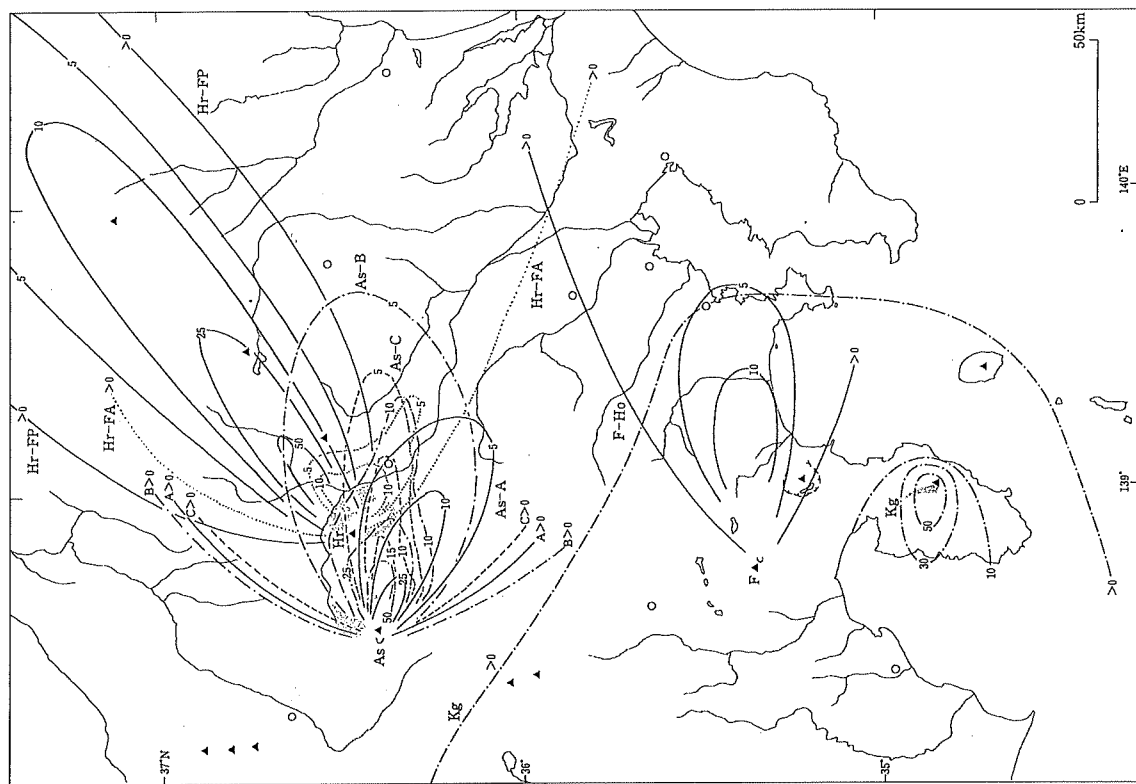


図 3-3-1 中部・関東地方の完新世主要テフラ等層厚縦図  
 As-A 滝間 A (天明3)<sup>a</sup> F-HO 富士山ボコトウラマツ  
 Hr-FP 滝間ニツ岳伊香保ホリヨリ縫  
 As-C 滝間C<sup>b</sup> As-C 滝間C<sup>b</sup> Ke 天城カヲヤ平野  
 Hr-FP 滝間ニツ岳伊香保ホリヨリ縫  
 As-D 滝間D<sup>c</sup> As-<sup>d</sup> 滝間D<sup>c</sup> Ke 天城カヲヤ平野  
 [1] 1995.3 関東 (1989.4) 関西 (1990.5) 関東 (2000.1)  
 [2] TEVARA (1995.3) 関東 (1989.4) 関西 (1990.5) 関東 (2000.1)



140 / II 日本のチフラ各論

图3-4 中部、腹侧皮质的组织学切片显示Hk-KMP1 抗原在皮层中表达。Hk-KP13 抗原表达于下层I<sub>2</sub>，而 Hk-KP113 抗原表达于上层I<sub>1</sub>。Hk-KP113 和 Hk-KP13 在 I<sub>1</sub> 层表达的模式与 Hk-KMP1 在 I<sub>1</sub> 层表达的模式一致。

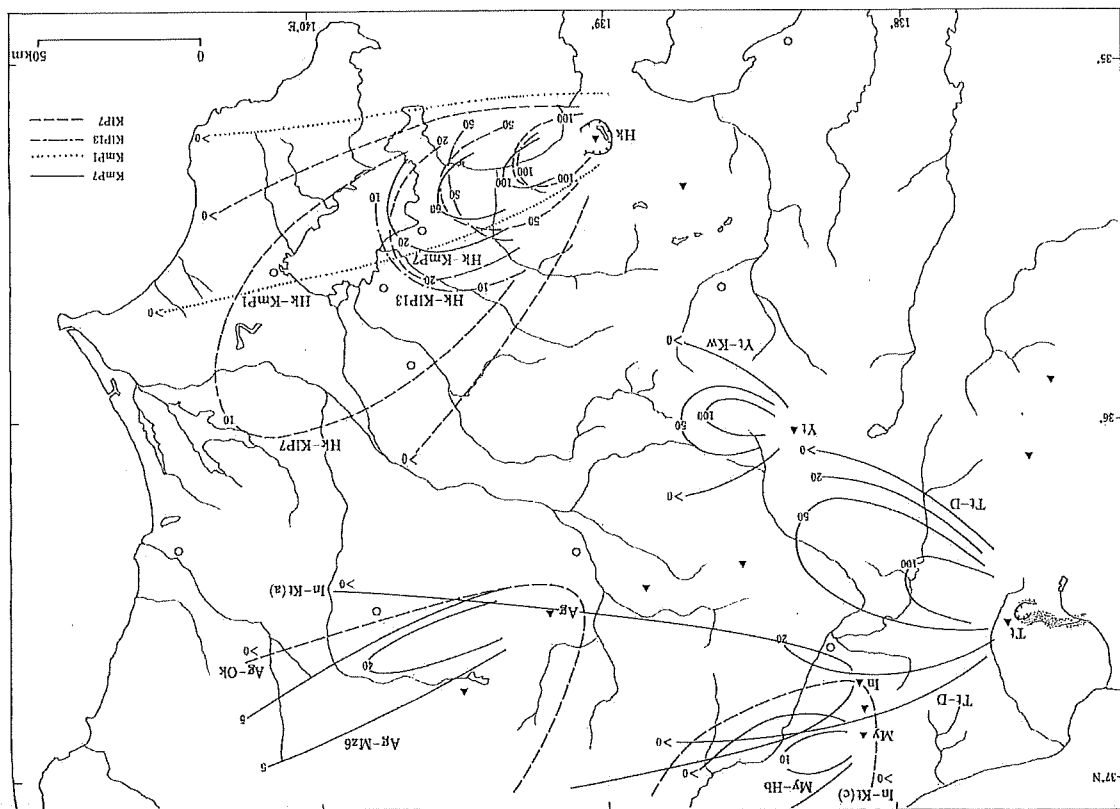
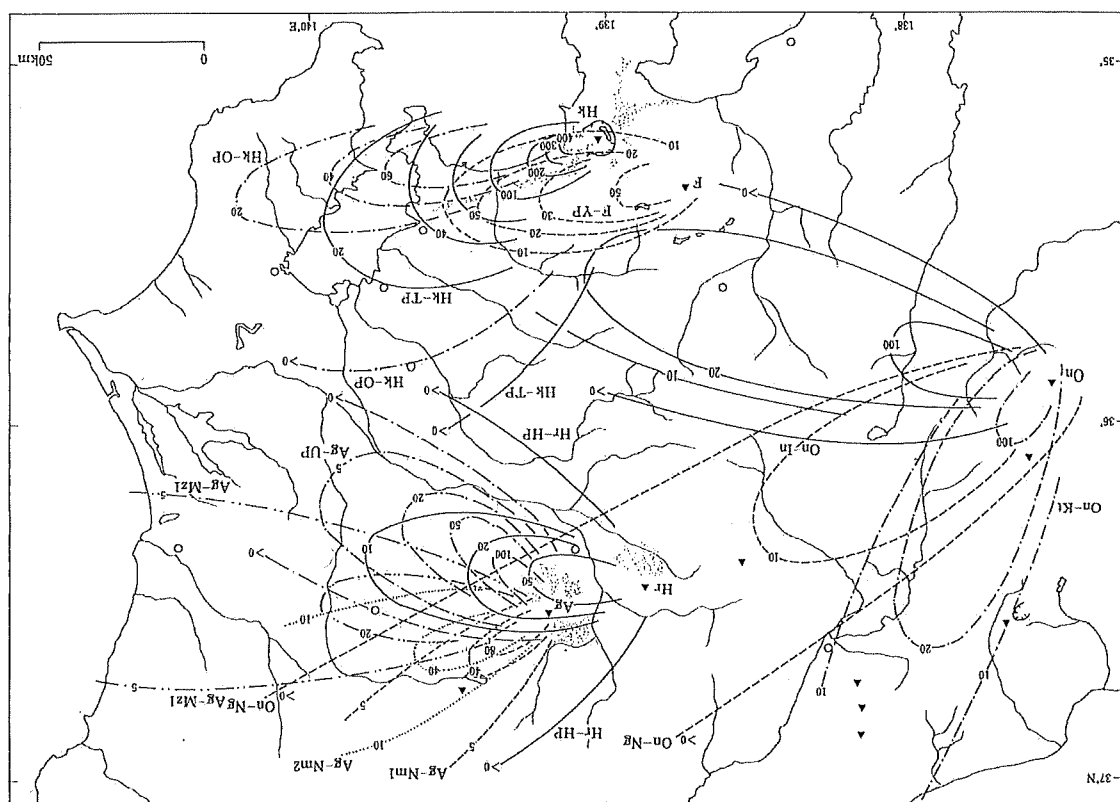


图3-3-8 中部、南部电力的调度枢纽主要位于图中7个二级电网的中心(见图2)。



### [3] 支笏・羊蹄・石狩・十勝

表3.5-3

火山・テフラ名	記号	年代	測定方法	地質風化と層相	分布・体積	A	V	注・対比・他の名稱
樽前 b <sup>1-9</sup>	Ta-a	AD 1739	H	pfa, pfl, pfa	EEN>270 km 図 3.5-1	4	5	淀真まで見らか。[Ma-a おあるいはMa-aj]、[e]の一 部をなす。アイヌ文化 層。
樽前 b <sup>1-9</sup>	Ta-b	AD 1667	H, A	pfa, pfa	E(N)>170 km 図 3.5-1	4	5	アイヌ文化層。
有珠 b 白頭山皆小牧 <sup>b</sup>	Us-b B-Tm	AD 1663 10世紀	H	pfa, afra afra	E(N)>80 km 図 3.5-2	4	5	表3.5-2参照。 本文・表3.4-4, 3.6-2參 照。
樽前 c <sup>1-9</sup>	Ta-c	2.5~3	C*, A	sfa, pfa	E(N)>80 km 図 3.5-2	4	5	
樽前 d <sup>1-9</sup>	Ta-d	8~9	C*	pfa, sfa	E>200 km 図 3.5-2	3~4	5	帶広火山砕屑 <sup>b</sup> 、日高山 地トマタベマヤ火砕 <sup>b</sup> 。
恵庭 a <sup>7</sup>	En-a	19~21 (MTS 2)	C*	pfa	E>200 km 図 3.5-3	4	5	同上。
羊蹄 (鶴) <sup>27</sup>					およそ70ka以降完新世まで数十層の sfa, pfa が噴出・堆積。一部に小 pfa あり。ここででは遠隔地まで達 した3層 (Yo-1, 2, 3) を示す。			
羊蹄第 1 <sup>14-11</sup>	Yo-1	>18	C, O	sfa, pfa, sta	E(N)>85 km 図 3.5-3	3	4~5	本層とその下位にある Y <sub>o</sub> -2 <sup>(8)</sup> との間から後 期噴出岩、「[Ko-Ps-1]」 <sup>b</sup> 本文・表3.1-3 参照。
姶良 Tr-0	AT	26~29	C*	afa (風化) pfa・sfa 互層	E>80 km 図 3.5-3	3	4	AT直下 [No-Ps-3] <sup>b</sup> 、インボリ ニーシヨン巣 <sup>b</sup> 。
羊蹄第 2 <sup>14-11</sup>	Yo-2	25~27	C*	pfa, sta, pfa, sta	N>45 km 図 3.5-3	3	4	フッソ火口山巣 <sup>b</sup> 。
羊蹄第 3 <sup>14-11</sup>	Yo-3	40	ST	pfa	cont. 50 km 図 2.4-3	3~4	4	
恵庭 b <sup>10</sup>	n, En-b	>22	C	pfa	ESE>700 km 図 2.4-3	3	7	本文参照。
支笏第 1 <sup>14-11</sup>	Spfa-1	40~45	C <sup>var</sup> <sup>b</sup>	pfa				
クッタラ第 1	Kt-1	≥43	C	pfa				
銘龜女那川	Z-M	≥45						
クッタラ第 3	Kt-3			pfa (2ユニット)				
支笏第 5 <sup>14-12</sup>	Spfa-5			pfa				
支笏第 6 <sup>14-12</sup>	Spfa-6			pfa				

記号	主な鉱物	火山ガラス	opx	ho, cum $\eta^2$	模式地・その他
Ta-a	opx, cpx	pm	1.497~1.508 (1.498~1.501)	1.713~1.717 (1.715~1.716)	千歳市美々
Ta-b	opx, cpx	pm	1.500~1.509	1.712~1.716 (1.715)	同上
Us-b B-Tm	opx, cpx, ho; qt af	pm	1.498±	1.511~1.522	門別町 af 1.522~1.524, 苦小牧市, 港
Ta-c	opx, cpx, (al)	pm	1.502~1.511	1.708~1.716 (1.710~1.712)	千歳市美々, 網走駅前文化園 にはさまれる。
Ta-d	opx, cpx, (ol)	pm	1.533~1.537	1.701~1.706	同上, 上下に網走駅前文化園,
En-a	opx, cpx	pm	1.507~1.509	1.710~1.715 (1.715~1.715)	同上, ho を含まない。
Y <sub>o</sub> -1	opx, cpx			1.714~1.719	京極町大庭, 山縣試料, 従属 の多い火山ガラス。
AT	(opx)	bw	1.499~1.501	1.690~1.695	同上, 山縣試料
Y <sub>o</sub> -2	ho, opx	pm	1.556~1.560	1.703~1.708	同上, 山縣試料
Y <sub>o</sub> -3	opx, opx	pm	1.525~1.532	1.702~1.707	同上, 山縣試料
n, En-b	opx, cpx	pm	1.510~1.514	1.711~1.715	恵庭市墨尻,
Spfa-1	opx, ho, (cpx); qt	pm, bw	1.500~1.503	1.730~1.733	千歳市美々
Spfa-1	opx, cpx, ho; qt	pm	1.501~1.505 (1.502~1.503)	1.688~1.691	同上
Kt-1	opx, cpx; qt	pm	1.502~1.504	1.723~1.726	早来町新栄
Z-M	ho, opx, cum, bi; qt			1.670~1.675 cum 1.661~1.664	静内町新延, 庄尾町豊豊
Kt-3	opx, cpx, ho	pm	1.509~1.513	1.709~1.725	早来町新栄
Spfa-5				1.715~1.719 (1.716~1.717)	同上
Spfa-6				1.710~1.717 (1.711~1.715)	同上

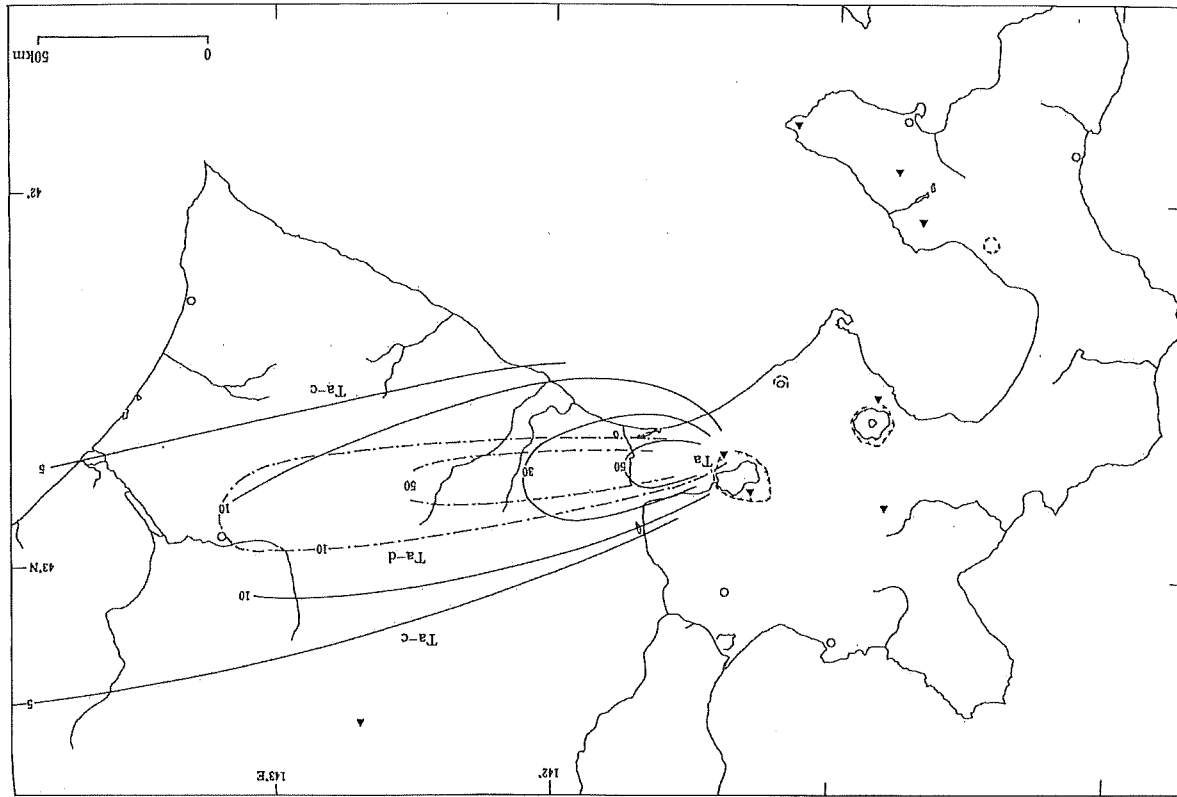
图 3.5-2 北海道樽前山②荒野主要干谷带断面图。

[1] 游鑑・上野 (1987), 2) 鶴井 (1989), 3) Sasaki (1974), 4) 北海道立自然命会委員会 (1979)]

Ta-c 摩訶c(23) Ta-d 摩訶d<sup>0</sup> Ta:摩訶.

图 3.5-2 北海道樽前山②荒野世界主要干谷的等高线图。

Digitized by srujanika@gmail.com



Ta-

[1] 北海道文化芸術会議委員会（1979）、2) 達井（1989）、3) 道賀洋介（1988）、4) Sasaki（1974）、5) 大槻・道賀（1964）、6) 関井邦介（1986）】

T-B-a 搭配詞 C<sub>1</sub>, C<sub>2</sub>, C<sub>3</sub>, D<sub>1</sub> 適用範圍  
Ko-C<sub>2</sub> 聽力語 C<sub>2</sub>, C<sub>3</sub>, D<sub>1</sub> 適用範圍  
Ta-b 聽聽吧 b<sub>1</sub> Ta-b 聽聽吧 b<sub>2</sub> Ta-b 聽聽吧 b<sub>3</sub>  
Us-b 有音 b<sub>6</sub> Us-b 有音 b<sub>6</sub> Us-b 有音 b<sub>6</sub>  
Ko-d 听力語 d<sub>1</sub>, d<sub>2</sub> 听力語 d<sub>1</sub>, d<sub>2</sub> 听力語 d<sub>1</sub>, d<sub>2</sub>

图 3.5-1 北海道南西部の歷史時代主要手工业の等高线图.

This figure is a geological map of the Kola Peninsula, Russia, showing seismic wave velocity anomalies. The map displays contour lines representing the ratio of compressional wave velocity ( $V_p$ ) to shear wave velocity ( $V_s$ ). The legend indicates contour values: <0, 10, 20, 50, 100, and 1000. Specific seismic profiles are drawn as dashed lines and labeled: Ta-a, Ta-b, Ta-c, Ta-d, Ko-c<sub>1</sub>, Ko-c<sub>2</sub>, and Ko-d. The profiles generally trend from the northwest towards the southeast. A scale bar in the top left corner indicates a distance of 50 km.

172 / II 日本のテフラ各論

[1] 亂世圖說 (1990), 2. 月刊 (1991), 3. 月刊 (1992), 4. 月刊 (1993)。各期題目參見卷首 (1979), 6. 卷首 (1980)。

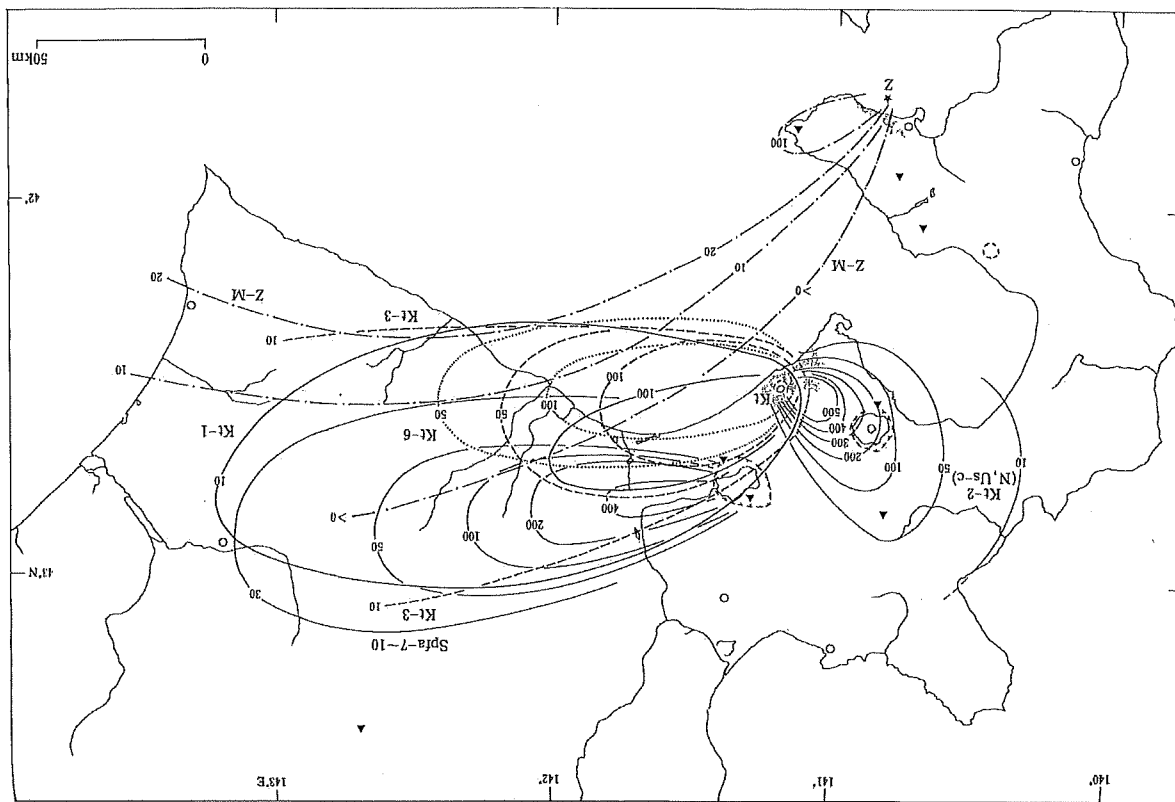
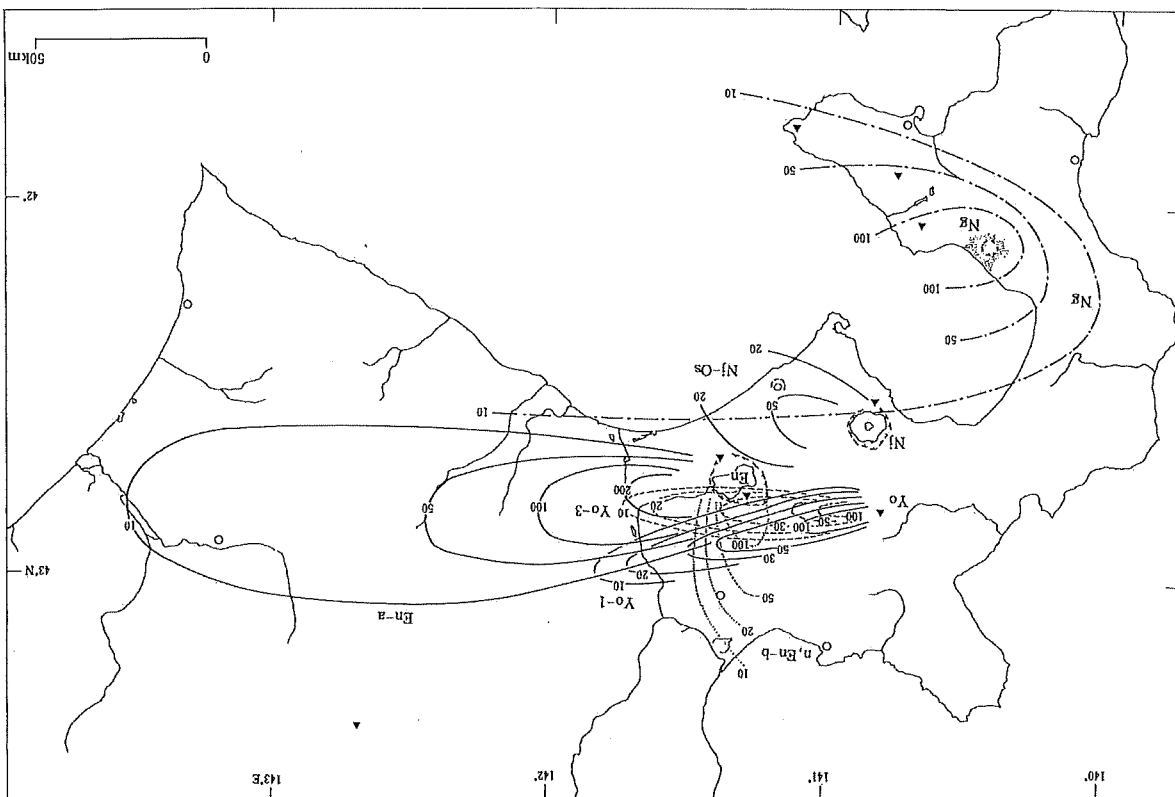


图 6-3 北海道南部西北部的地质构造带主要带与主要断层带示意图(见④)。



W	Ygn 208 Wht 221 Wkm 231 Wrd 208 Wrh 218	Yt-Kw 124, 143 Yt-Nk 187, 223 Yt-Nkd 184, 223 Yt-Pm 124, 141
Y	Ybd 196, 227 Yb5 227 Ybn 216 Yel. 3 222 Yf-1 112 Yfg 208	Yo-1, 3 164, 174 Yo-2 164 Ys 206 Yst 206 Ysn 206 Yt-BP, BBP 210 Yt-hop 198, 212
Z	Ymd 208 Ymd3 222	Z-M 159, 160, 175 Za-Kw 144, 156 ZP1 152 ZP2 152, 158
	Yt-Kw 212 Yt-Pm 124, 141	Zr 224
著者略歴		Zr 224

新井 房夫  
1925年生れ  
1933年生れ  
1939年東京大学大学院数物系研究科修了  
現在 東京都立大学名誉教授、理学博士  
主要著書 『火山灰は語る』 竹内哲男, 1977年  
『写真で見る火山の自然史』(共著) 東京  
大学出版会, 1998年  
『日本の地形7 九州・南西諸島』(共編)  
東京大学出版会, 2001年  
『第四紀学』(共編) 勉誠书店, 2003年

町田 洋  
1925年生れ  
1938年生れ  
1949年東京文理科大学卒業  
現在 菊馬大学名誉教授、理学博士  
主要著書 『関東ローム』(共著) 斎藤地質, 1965年  
『地層の知識』(共著) 東京美術, 1987年  
『火山灰考古学』(編著) 古今書院, 1993年



洞窟にはさまる頸部チラの窮屈を調査中の著者 (左:町田、右:新井) [1999年1月坂崎信治氏撮影、宮崎県延岡市上原]

新編 火山灰アトラス——日本列島とその周辺

1992年8月31日 初版第1刷  
2003年9月25日 新編第1刷

〔複印権付〕

著者 町田 洋・新井房夫  
発行所 財團法人 東京大学出版会  
代表者 五味文彦

113-8654 東京都文京区本郷 7-3-1 貝塚ビル内  
電話 03(3811)8814 FAX 03(3812)6958  
振替 00160-6-59964

印刷所 株式会社和興社  
製本所 矢崎謹本株式会社

©2003 Hiroshi Machida and Fusao Arai  
ISBN 4-13-060745-6 Printed in Japan